

Controle Go-to-Goal para Robôs com tração diferencial usando critério de estabilidade de Lyapunov

Matheus L. T. Farias

24 de Julho de 2025

Automação Inteligente

Introdução

- Robôs móveis autônomos enfrentam desafios de controle devido a restrições não-holonômicas.
- O controle preciso é essencial em aplicações como:
 - Veículos autônomos
 - Robôs de vigilância
 - Robôs assistivos
- Métodos com garantias formais de estabilidade são desejáveis.

Objetivos do Trabalho

- Implementar leis de controle para o modelo cinemático Uniclo para o problema do tipo *Go-to-Goal* seguindo duas abordagens:
 - Aicardi et al. (1995)
 - Benbouabdallah et al. (2013)
- Utilizar o critério de estabilidade de Lyapunov para garantir convergência assintótica.
- Verificar a eficácia das abordagens.
- Comparar o desempenho das abordagens propostas.
- Utilizar o ambiente CoppeliaSim para validação experimental.

Fundamentação Teórica

Estabilidade de Lyapunov

- A teoria de Lyapunov permite verificar a estabilidade de sistemas dinâmicos sem resolver suas equações diferenciais.
- Baseia-se na definição de uma função escalar $V(x)$, chamada de **função de Lyapunov**.
- O sistema é estável se:
 - $V(x) > 0$ para todo $x \neq 0$ e $V(0) = 0$ (positividade definida)
 - $\dot{V}(x) \leq 0$ para todo x (derivada negativa semi-definida)

- Se $\dot{V}(x) < 0$ para todo $x \neq 0$, a estabilidade é **assintótica**.
- Isso significa que as trajetórias convergem para o ponto de equilíbrio ao longo do tempo.
- Utilizado especialmente para sistemas não lineares.

Exemplo de sistema dinâmico:

$$\dot{x} = f(x), \quad x \in \mathbb{R}^n, \quad f(0) = 0$$

Função de Lyapunov Quadrática

- Uma escolha comum para sistemas lineares:

$$V(x) = x^{\top} P x$$

- Onde $P \in \mathbb{R}^{n \times n}$ é simétrica e definida positiva ($P = P^{\top} > 0$).
- A derivada temporal de V pode ser obtida como:

$$\dot{V}(x) = \dot{x}^{\top} P x + x^{\top} P \dot{x}$$

- Essa estrutura é base para projetar leis de controle estáveis.

Modelo Cinemático do Robô

Equações do Modelo Cinemático

- O modelo de cinemático Uniciclo é dado pela equação abaixo, considerando um vetor de estados q :

$$\begin{cases} \dot{x} = v \cos \theta \\ \dot{y} = v \sin \theta \\ \dot{\theta} = \omega \end{cases}, \quad q = \begin{bmatrix} x \\ y \\ \theta \end{bmatrix}$$

- Onde:
 - (x, y) : posição do robô no plano
 - θ : orientação do robô em relação ao eixo x global
- Entradas de controle:
 - v : velocidade linear
 - ω : velocidade angular

Aplicação da Teoria de Lyapunov

- A estrutura do modelo é compatível com sistemas da forma $\dot{x} = f(x)$.
- Isso permite aplicar a teoria de Lyapunov para projetar leis de controle para v e ω .
- O objetivo é garantir estabilidade assintótica em relação a uma pose alvo desejada.

Problema do Estacionamento

Definição do Problema

- O problema do estacionamento consiste em levar o robô de uma pose inicial qualquer até uma pose desejada (x_T, y_T) .
- Requer o controle tanto da posição quanto da orientação final do robô.
- Importante: deve-se garantir estabilidade do sistema durante todo o movimento.

Neste trabalho, o problema do estacionamento é tratado com base em duas abordagens da literatura:

- **Aicardi et al. (1995):**
 - Foca na estabilização assintótica para alvos fixos.
- **Benbouabdallah et al. (2013):**
 - Originalmente proposta para rastreamento de alvos móveis.
 - Aplicada aqui ao caso particular de alvos fixos.

Objetivo da Solução de Controle

- Projetar leis de controle para v (linear) e ω (angular) que:
 - Garantam a convergência do robô à posição e orientação desejadas.
 - Satisfaçam os critérios de estabilidade de Lyapunov.

Abordagem de Aicardi et al.

Visão Geral da Abordagem

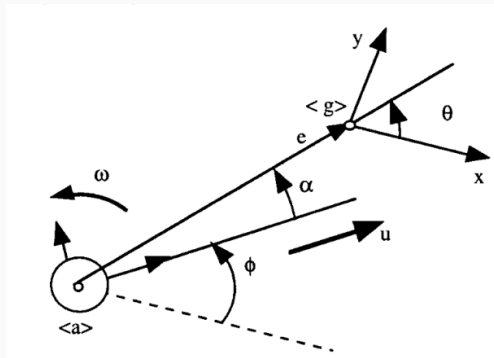


Figure 1: Sistema Robô-Alvo

- Baseada em uma reformulação do sistema em coordenadas relativas ao alvo.

Redefinição de Variáveis

- Variáveis relativas:
 - e : distância entre o robô e o alvo
 - θ : orientação desejada
 - ϕ : orientação atual do robô
 - $\alpha = \theta - \phi$: erro angular

- Vetor de estado:

$$x = \begin{bmatrix} e \\ \alpha \\ \theta \end{bmatrix}$$

- O ponto de equilíbrio desejado é $x = [0, 0, \theta]^T$.

Função de Lyapunov Proposta

$$V = \frac{1}{2}\lambda e^2 + \frac{1}{2}(\alpha^2 + h\theta^2), \quad \lambda, h > 0$$

- Baseado numa forma quadrática com:

$$x = \begin{bmatrix} e \\ \alpha \\ \theta \end{bmatrix}, \quad P = \begin{bmatrix} \frac{1}{2}\lambda & 0 & 0 \\ 0 & \frac{1}{2} & 0 \\ 0 & 0 & \frac{1}{2}h \end{bmatrix}$$

$$\dot{V} = -\lambda e u \cos(\alpha) + \alpha \left[-\omega + \frac{u}{e} \sin(\alpha) \cdot \frac{\alpha + h\theta}{\alpha} \right]$$

- O objetivo é projetar u e ω para que $\dot{V} < 0$ para todo $x \neq 0$.

$$\begin{cases} u = \gamma e \cos(\alpha), & \gamma > 0 \\ \omega = k\alpha + \gamma \frac{\sin(\alpha) \cos(\alpha)}{\alpha} (\alpha + h\theta) \end{cases}$$

- Substituindo essas leis em \dot{V} , obtém-se:

$$\dot{V} = -\lambda \gamma e^2 \cos^2(\alpha) - k\alpha^2 \leq 0$$

- Estabilidade assintótica garantida pela teoria de Lyapunov.

Abordagem de Benbouabdallah et al.

Visão Geral da Abordagem

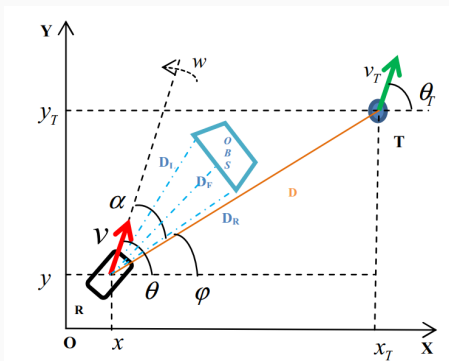


Figure 2: Sistema Robô-Alvo

- Utiliza um modelo geométrico com variáveis relativas entre o robô e o alvo.

Variáveis Geométricas

- Variáveis relativas:
 - D : distância entre o robô e o alvo
 - θ : orientação atual do robô
 - ϕ : orientação desejada
 - $\alpha = \theta - \phi$: erro angular
- Erros definidos como:

$$e_D = D_d - D, \quad e_\alpha = \alpha_d - \alpha$$

- Vetor de estado:

$$x = \begin{bmatrix} e_D \\ e_\alpha \end{bmatrix}$$

- O ponto de equilíbrio desejado é $x = [0, 0]^T$.

Função de Lyapunov Proposta

$$V = \frac{1}{2}e_D^2 + \frac{1}{2}e_\alpha^2$$

- Baseado numa forma quadrática com:

$$x = \begin{bmatrix} e_D \\ e_\alpha \end{bmatrix}, \quad P = \begin{bmatrix} \frac{1}{2} & 0 \\ 0 & \frac{1}{2} \end{bmatrix}$$

$$\dot{V} = e_D v \cos \alpha + \alpha \left(w - \frac{v}{D} \sin \alpha \right)$$

Com: $\alpha_d = 0$

- O objetivo é projetar v e w para que $\dot{V} < 0$ para todo $x \neq 0$.

$$\begin{cases} v = -K_v e_D \cos \alpha \\ \omega = -K_\omega \alpha - \frac{v}{D} \sin \alpha \end{cases}, \quad K_v, K_\omega > 0$$

Substituindo em \dot{V} :

$$\dot{V} = -K_v e_D^2 \cos^2 \alpha - K_\omega \alpha^2 \leq 0$$

- Garante estabilidade assintótica.

Implementação e Simulação

- As leis de controle foram implementadas no simulador **CoppeliaSim**.
- Robô utilizado: **Pioneer 3-DX**, com tração diferencial.
- Informações de posição e orientação foram obtidas com sensores virtuais:
 - `sim.getObjectPosition()`
 - `sim.getObjectOrientation()`

Conversão de Velocidades

- O controle direto do robô no simulador é feito via velocidade angular das rodas (ω_R, ω_L).
- As leis de controle fornecem v (linear) e ω (angular).
- Conversão para controle das rodas:

$$\begin{cases} \omega_R = \frac{2v + \omega L}{2R} \\ \omega_L = \frac{2v - \omega L}{2R} \end{cases}$$

- Onde:
 - L : distância entre rodas (eixo)
 - R : raio das rodas

- Foram realizados testes em 4 cenas com posições iniciais distintas.
- A posição inicial do robô é fixa, mas o alvo muda:
 - Cena 1: Alvo à frente
 - Cena 2: Alvo ao lado
 - Cena 3: Alvo na diagonal
 - Cena 4: Alvo atrás do robô
- Cada abordagem foi testada com os mesmos parâmetros em todas as cenas.

- **Aicardi et al.**

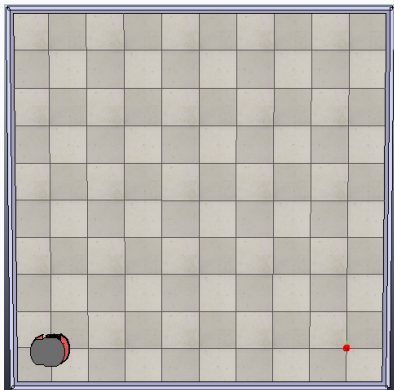
$$\gamma = 0.1, \quad k = 1, \quad h = 1$$

- **Benbouabdallah et al.**

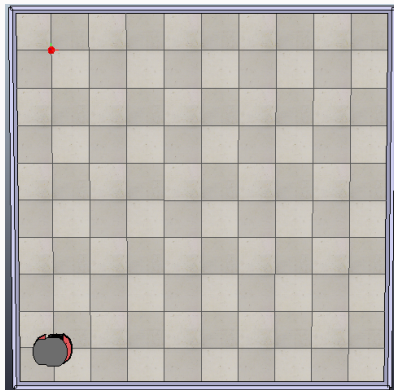
$$K_v = 0.1, \quad K_\omega = 1$$

- Valores escolhidos arbitrariamente, respeitando a condição de estabilidade.

Cenas de Teste

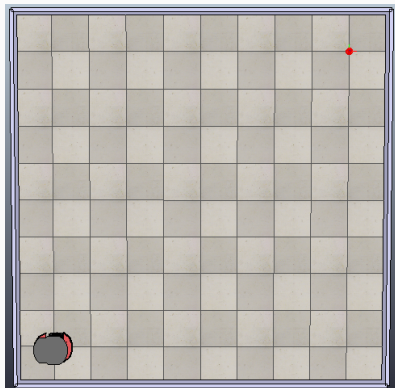


Cena de Teste 1

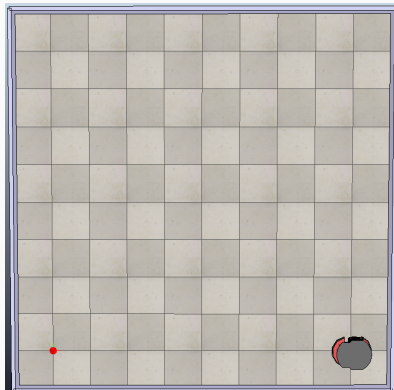


Cena de Teste 2

Cenas de Teste



Cena de Teste 3



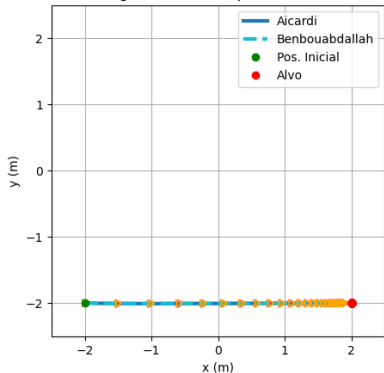
Cena de Teste 4

Resultados

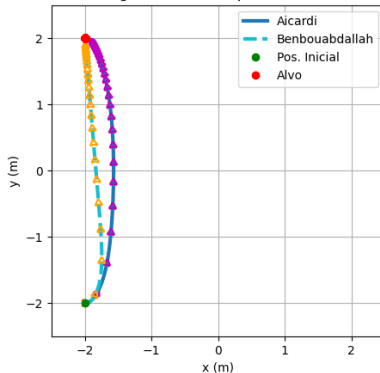
- A trajetória do robô foi registrada em todas as cenas de teste.
- Cada abordagem gerou um padrão diferente de movimento.
- Os triângulos indicam a posição e orientação do robô, inseridos a cada 1,5 segundos para análise temporal.

Trajetória do Robô

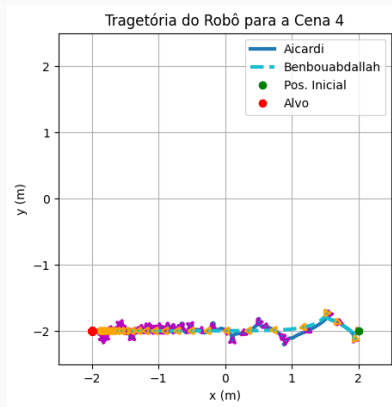
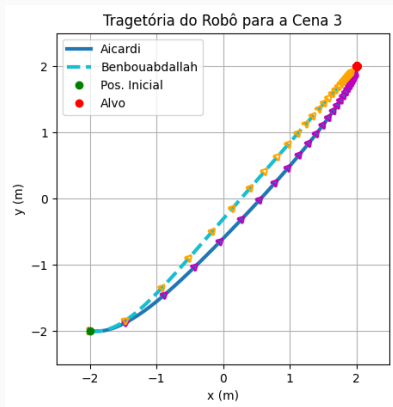
Trajetoória do Robô para a Cena 1



Trajetoória do Robô para a Cena 2

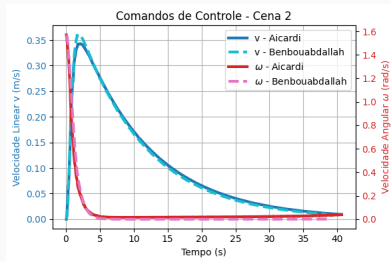
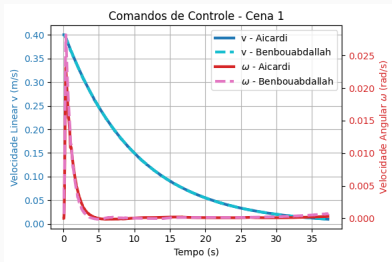


Trajetória do Robô

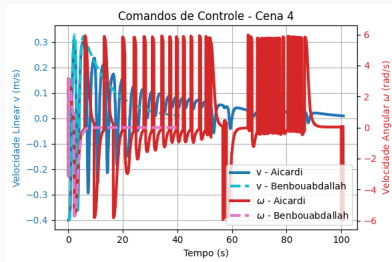
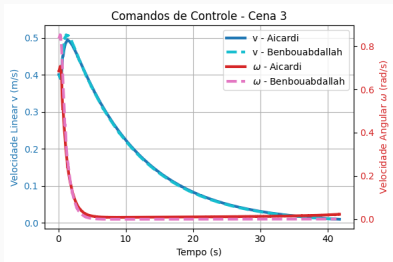


- As figuras mostram a evolução desses sinais em cada cenário.
- Comandos analisados: $v(t)$ e $\omega(t)$

Comandos de Controle

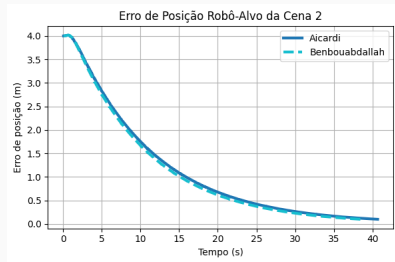
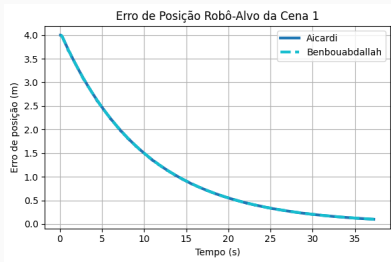


Comandos de Controle

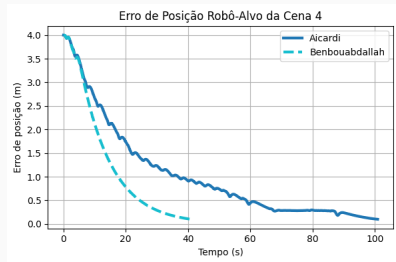
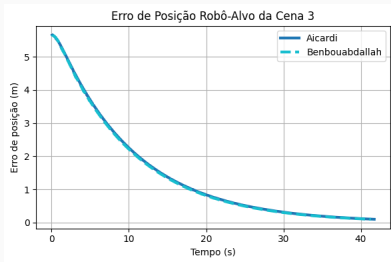


- A distância entre o robô e o alvo foi monitorada durante a simulação.

Erro de Posição

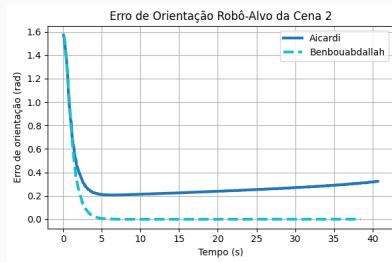
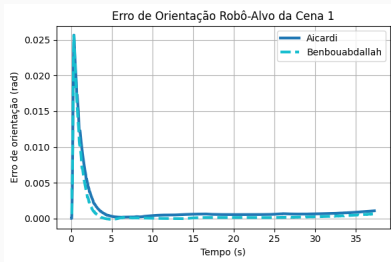


Erro de Posição

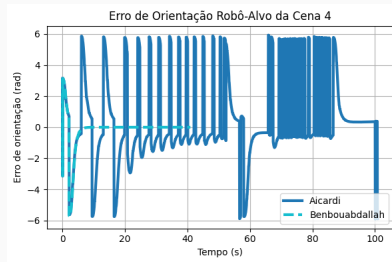
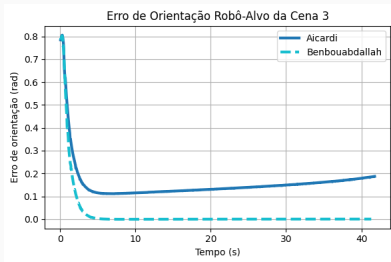


- O erro angular α foi avaliado ao longo do tempo.

Erro de Orientação



Erro de Orientação



- Tempo necessário para alcançar o alvo em cada cena:

Abordagem	Cena 1	Cena 2	Cena 3	Cena 4
Aicardi et al.	37.25 s	40.65 s	41.75 s	100.85 s
Benbouabdallah et al.	37.35 s	38.45 s	41.30 s	40.95 s

Table 1: Tempo para o robô atingir o alvo



Conclusão

- Ambas as abordagens, Aicardi et al. e Benbouabdallah et al., foram capazes de resolver o problema Go-to-Goal com sucesso.
- A estabilidade assintótica foi comprovada teoricamente com base no critério de Lyapunov.
- As simulações no CoppeliaSim validaram o comportamento esperado das leis de controle.

- A abordagem de **Benbouabdallah et al.** demonstrou desempenho superior na maioria dos testes.
- Foi especialmente mais eficaz no caso da Cena 4 (alvo atrás do robô), onde a abordagem de Aicardi teve dificuldade significativa.
- A trajetória gerada foi mais direta e o erro de orientação foi menor ao final do movimento.

- O uso da teoria de Lyapunov se mostrou adequado para sistemas não lineares e não-holonômicos.
- Resultados indicam que abordagens com estrutura geométrica (como Benbouabdallah) podem ser mais robustas a diferentes configurações iniciais.

Referências

-  Aicardi, M., Casalino, G., Bicchi, A., & Balestrino, A. (1995). *Closed loop steering of unicycle-like vehicles via Lyapunov techniques*.
IEEE Robotics & Automation Magazine, 2(1), 27–35.
-  Benbouabdallah, K., & Zhu, Q. (2013). *A behavior-based controller for a mobile robot tracking a moving target in multi-obstacles environment*.
In International Conference on Intelligent Human-Machine Systems and Cybernetics, 5(2), 416–422.

Obrigado!

Perguntas?